

2.3.7 π 2 チャンネル

内部標的から 10° 方向に二次ビームを取り出す Unseparated Beam Line で、最高 $4 \text{ GeV}/c$ の性能を持つ。構成要素は Q-Q-D-D-Q-Q-D で、標準の収束点 F0 まで全長 31m 余りである。(図 2.3.7.1) ビームは一旦、D2 と D3 の間に水平・垂直方向とも 2 重収束し、アクロマティックに近い光学で導かれる。アクセプタンスは約 0.6 msr で運動量バイトは $\pm 1.0\%$ 。標準の最終収束点 F0 では無分散となるが、現在ここには TOKIWA 磁石が設置されている。分散を許せば、4m 上流の F1 点、4m 下流の F2 点に点収束させることが可能である。(表 2.3.7.1) F1 でのビームプロファイルの典型的な例を図 2.3.7.2 に示す。これは $A = 1\text{mm}\phi$ 、長さ 15 mm の標的からのものである。図 2.3.7.3 と図 2.3.7.4 に正負荷電粒子のビーム強度のまとめを示す。

参考文献

KEK Progress Report 1975, 1976

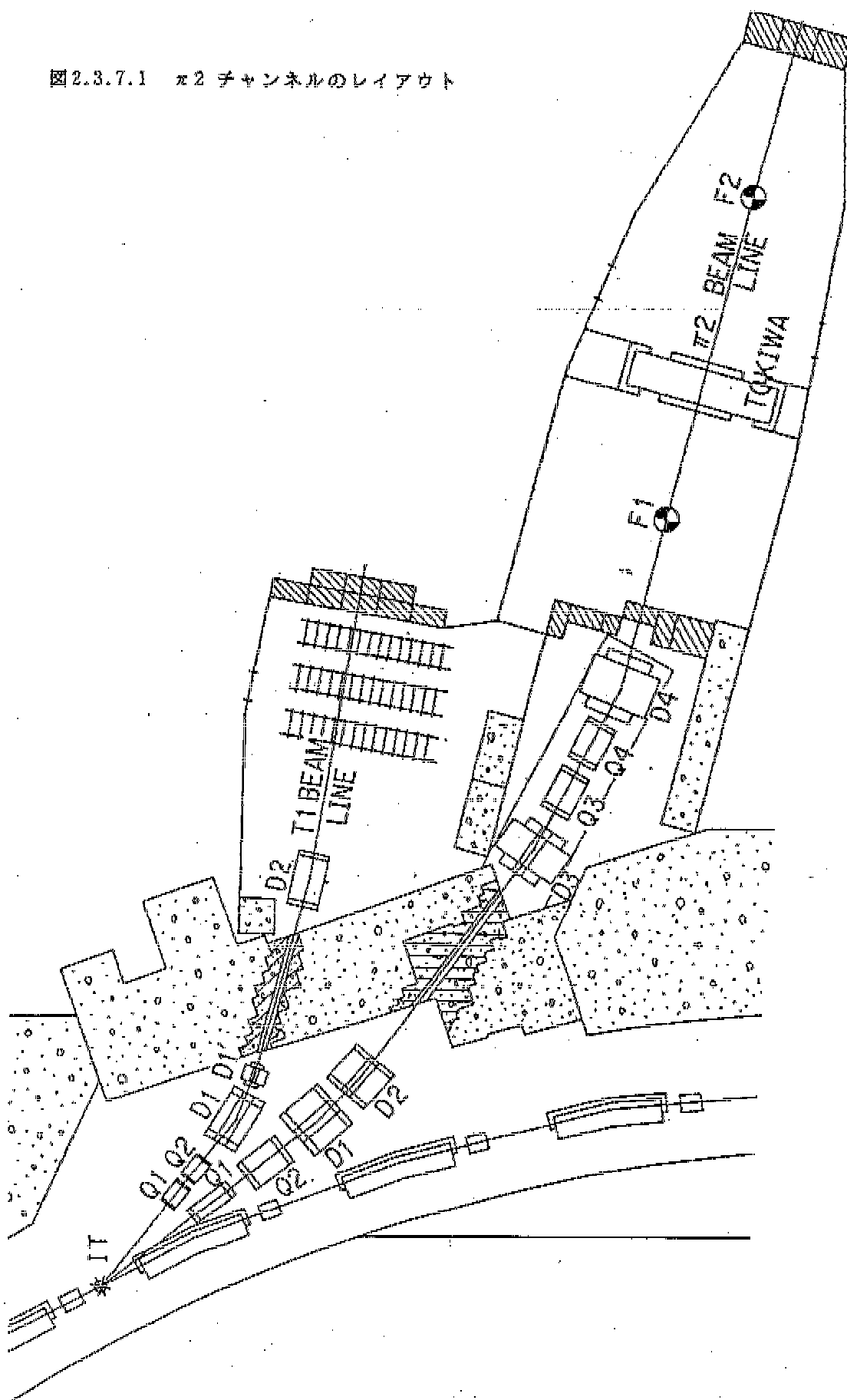
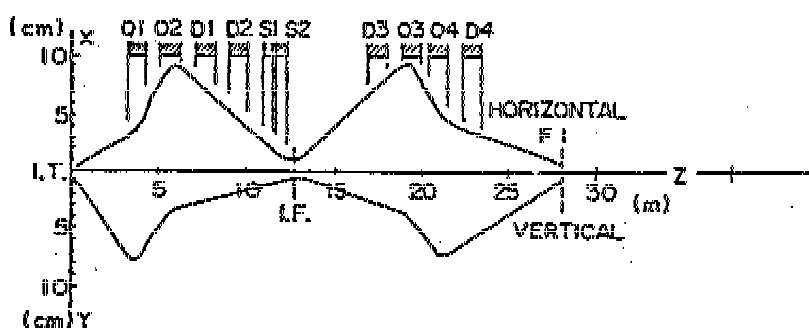
図2.3.7.1 π^2 チャンネルのレイアウト

表2.3.7.1 π^2 ディアンホルのパラメータCharacteristics of π^2 beam

Momentum range	(1.0) - 4.3 GeV/c
Target size	1.0 mm diameter (10-)15 mm long
Target material	Be, Al, Cu, W
Target efficiency for Be target	
by 8 GeV protons	32 %
Central production angle	10°
Solid angle acceptance	0.594 msr
Horizontal acceptance	9 msr
Vertical acceptance	21 msr
Momentum bite	± 1.0 %
Characteristics at intermediate focus	
Horizontal Magnification	0.63
Dispersion	- 1.06 cm/Z $\Delta p/p$
Vertical Magnification	3.91
Characteristics at final foci	F1 F0 F2
Beam length	27.8 m 31.3 m 37.1 m
Horizontal magnification	1.25 1.82 2.63
Dispersion (cm/Z $\Delta p/p$)	0.19 0.00 -0.20
Vertical magnification	1.68 2.85 4.65

(A)



(B)

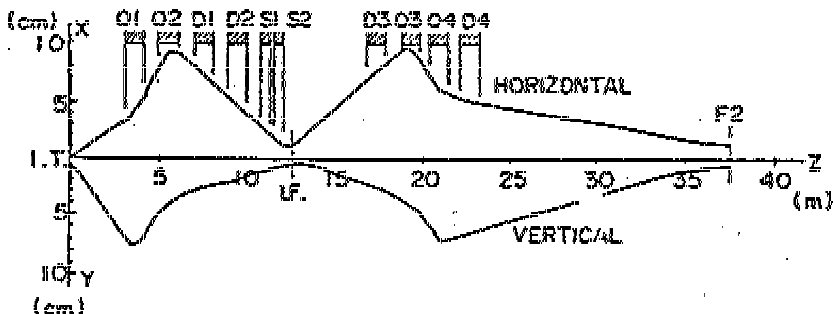
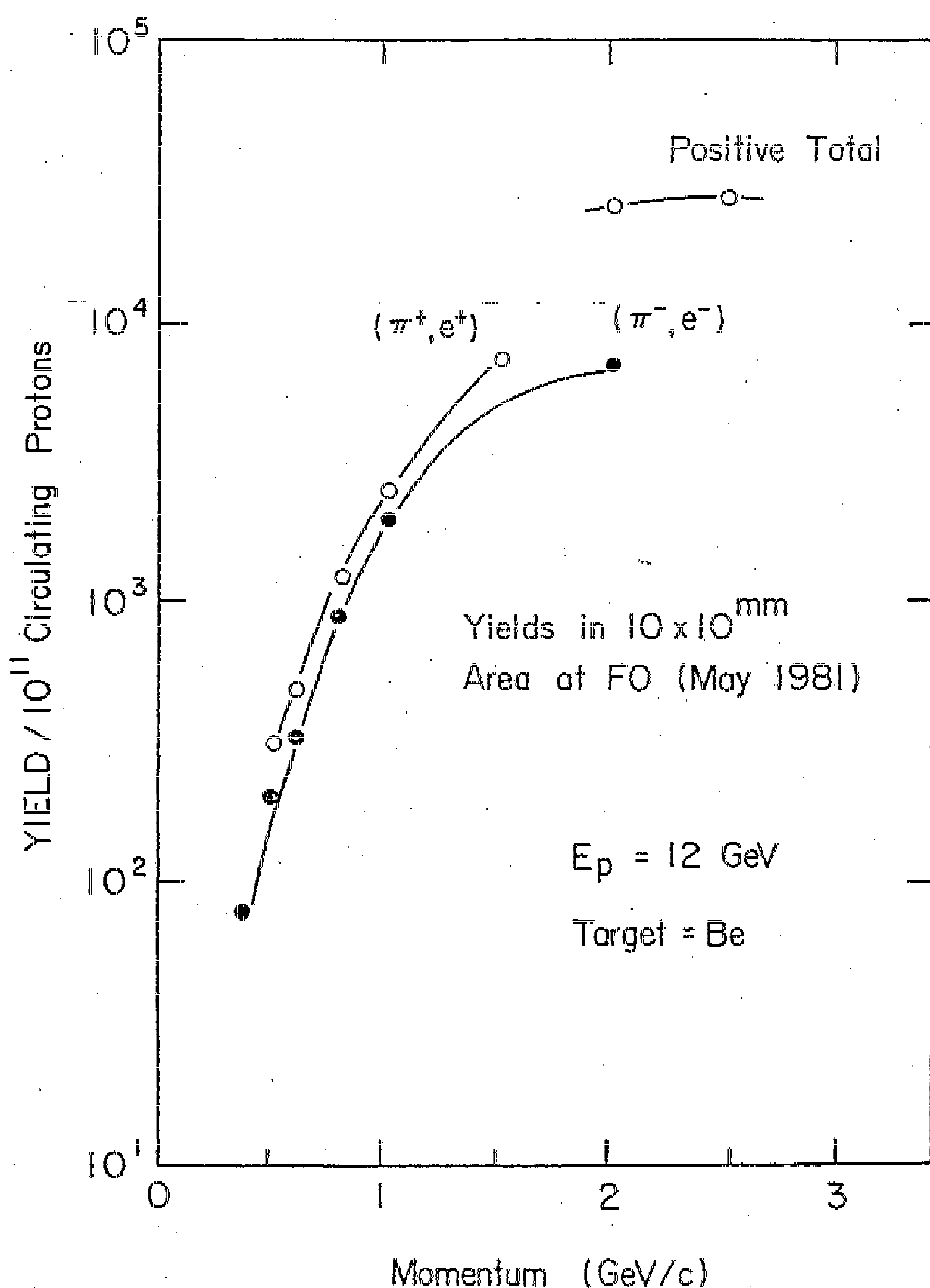
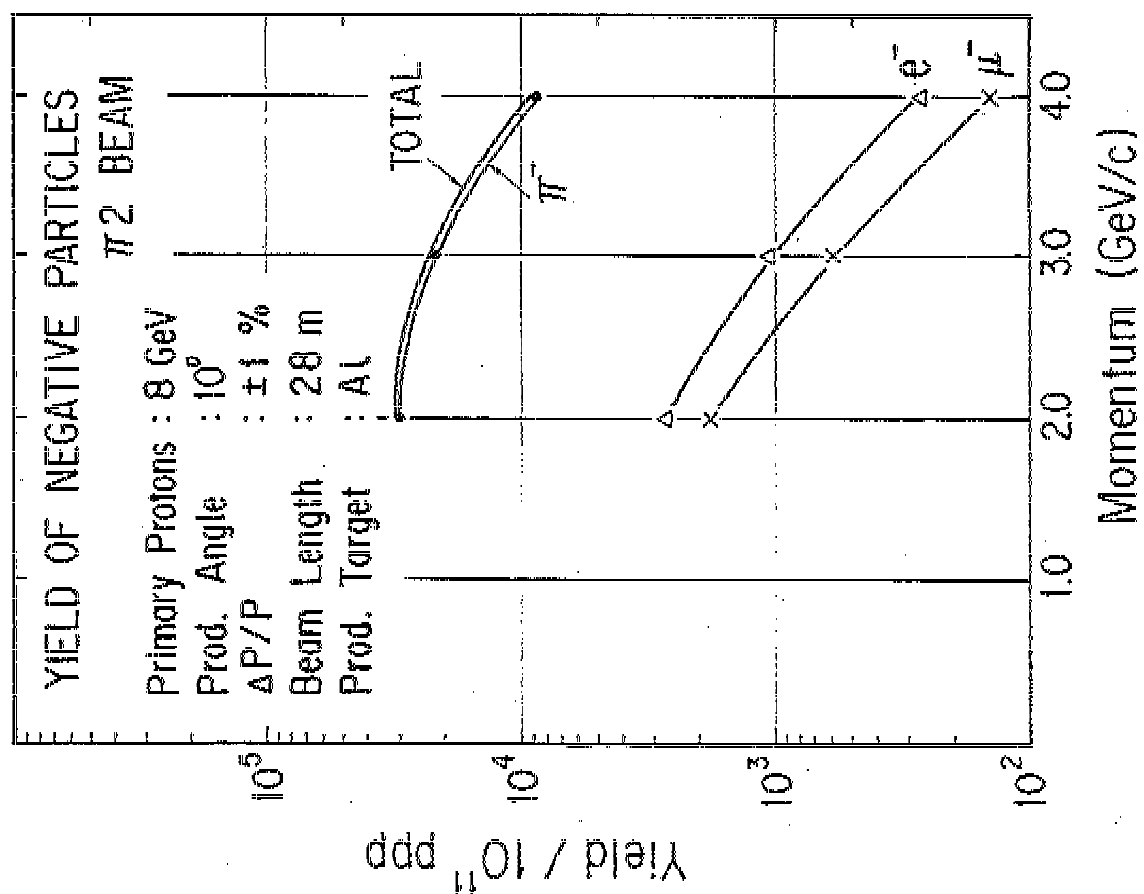
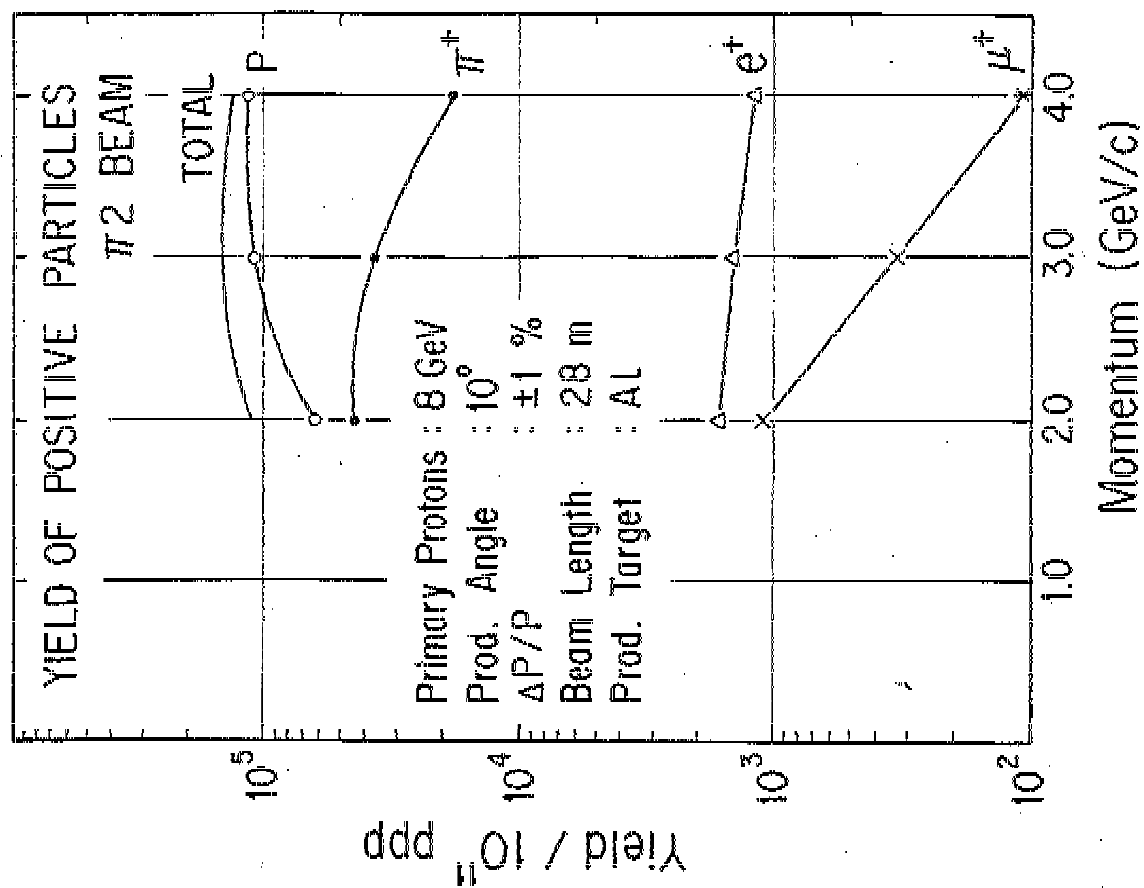
 π^2 Beam Envelope $\Delta p/p = \pm 1 \%$.

図2.3.7.2

図2.3.7.3 π^2 チャンネルのビーム強度(12 GeV)

图2.3.7.4 π^+ および π^- ビーム - A 計数(8 GeV)

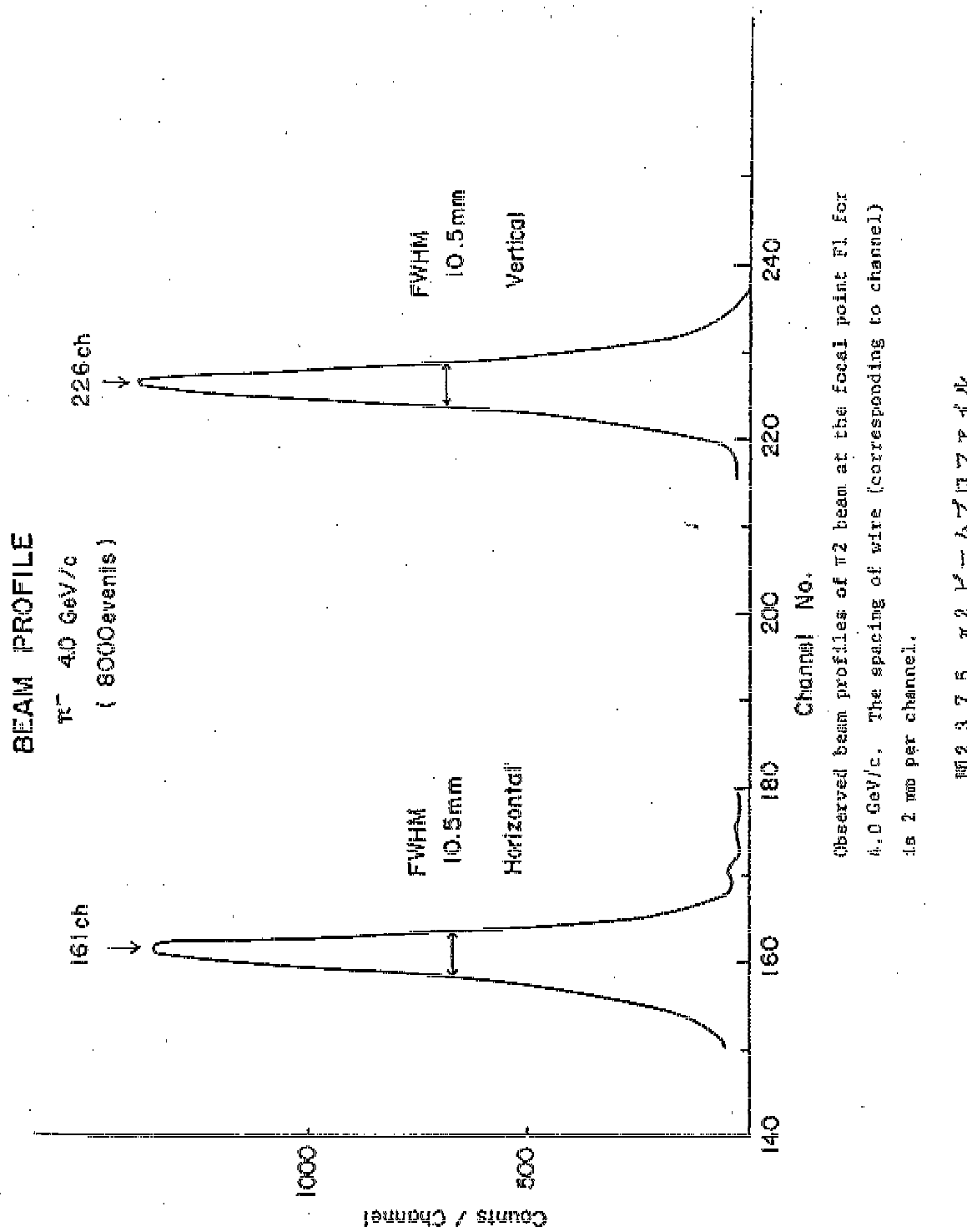


表2.3.7.2 π^2 チャンネルのトランスポートファイル

```

//MT01PI2A JOB ,GROUP=TPPB,TIME=5,REGION=2000K,NOTIFY=MT01
//LIST TRANSP.CNTL(PI2)
// EXEC PGM=TRNSPT
//STEPLIB DD DSN='SYS1.KEKLIB.LOAD',DISP=SHR
//GO.FT06F001 DD SYSOUT=A
//GO.FT05F001 DD *
'PI2 BEAM ORIGINAL, APRIL,30,1976.'
0
16. 7. 0.14667 'K1' ;
16. 8. 3.8 'K2' ;
-17. 'SEC' ;
1. 0.05 9.0 0.05 21.0 0.0 1.0 4.3 'BEAM' ;
3. 1.036 ;
3. 0.9 'FESD' ;
3. 1.431 ;
13. 4. ;
5.01 1.074 -7.768 10.0 'Q1' ;
13. 4. ;
3. 0.826 ;
13. 4. ;
5.01 1.074 6.600 10.0 'Q2' ;
13. 4. ;
3. 0.7325 ;
13. 4. ;
16. 4. 15.0 'W1/2' ;
16. 5. 6.0 'G1/2' ;
2. 3.75 ;
4. 1.06096 17.70056 0.0 'D1' ;
2. 3.75 ;
13. 4. ;
3. 0.739 ;
13. 4. ;
16. 4. 15.0 'W2/2' ;
16. 5. 6.0 'G2/2' ;
2. 3.75 ;
4. 1.06096 17.70056 0.0 'D2' ;
2. 3.75 ;
13. 4. ;
3. 0.571 ;
3. 0.35 'VSLT' ;
2. 0.75 ;
3. 0.5 'HSLT' ;
3. 0.5185 ;
10. -1. 2. 0.0 0.0001 'F1' ;
10. -5. 4. 0.0 0.0001 'F2' ;
13. 4. ;
3. 0.3758 ;
3. 0.9030 ;
9. 3.0 ;
3. 1.0 ;
9. 0.0 ;
13. 4. ;
16. 4. 20.0 'W3/2' ;
16. 5. 7.5 'G3/2' ;
2. 4.0 ;
4. 1.00082 20.01435 0.0 'D3' ;

```

2. 4.0 ;
13. 4. ;
5. 0.963 ;
13. 4. ;
5.01 1.074 6.3130 10.0 "Q3" ;
13. 4. ;
5. 0.526 ;
13. 4. ;
5.01 1.074 -6.0302 10.0 "Q4" ;
13. 4. ;
5. 0.764 ;
13. 4. ;
16. 4. 20.0 "W4/2" ;
16. 5. 7.5 "G4/2" ;
2. 4.0 ;
4. 1.00082 20.01135 0.0 "D4" ;
2. 4.0 ;
13. 4. ;
9. 4.0 ;
3. 1.0 ;
9. 0.0 ;
3. 1.0 ;
-10. -1.0 2.0 0.0 0.0001 "F3" ;
-10. -3.0 4.0 0.0 0.0001 "F4" ;
-10. -1.0 6.0 0.0 0.001 "F10" ;
-10. -2.0 6.0 0.0 0.001 "F11" ;
13. 4. ;
3. 3.0 ;
-10. -1.0 2.0 0.0 0.0001 "F5" ;
-10. -3.0 4.0 0.0 0.0001 "F6" ;
-10. -1.0 6.0 0.0 0.0001 "F9" ;
13. 4. ;
3. 4.0 ;
-10. -1.0 2.0 0.0 0.0001 "F7" ;
-10. -3.0 4.0 0.0 0.0001 "F8" ;
13. 4. ;
SENTINEL
" TO SECOND FOCUS AT F1 "
1
"10. "F1" ;
"10. "F2" ;
5. "Q1" ;
5. "Q2" ;
10. "F3" ;
10. "F4" ;
SENTINEL
" ACHROMATIC BEAM 1 "
1
5.01 "Q1" ;
5.01 "Q2" ;
10. "F3" ;
10. "F4" ;
10. "F11" ;
SENTINEL
" ACHROMATIC BEAM 2 "
1
10. "F3" ;
10. "F4" ;
10. "F10" ;
10. "F11" ;

```

SENTINEL
' SECOND ORDER CALCULATION AT F1 '
1
17. "SEC" ;
SENTINEL
' DELTA P VARIATION 2 '
1
1. 0.05 9.0 0.05 21.0 0.0 2.0 4.3 "BEAM" ;
SENTINEL
//
```

表Z.3.7.3 π^2 チャンネルの電磁石

カウンター実験ホール 電磁石一覧

(設置場所別)

 π^2

No	設置場所	型式	機器番号	製造年月	メーカー	整備状況
1	π^2 Q1	NQ420	74-B-177	50.3	東亜	
2	Q2	Q420	73-B-209	49.3	*	
3	D1	SD220	75-B-245	51.2	吉河	
4	D2	*	75-B-246	*	*	
5	D3	SD320	73-B-216	49.3	東亜	
6	Q3	Q420	73-B-208	*	*	
7	Q4	*	73-B-129	*	*	
8	D4	SD320	73-B-213	*	*	
9	王将 電磁ソレノイド	80-K-921	58.1	吉河		
10	トキワ 44D1615	74-B-163	50.3	日本製鋼		